



## دانشکده علوم پایه

پایان نامه کارشناسی ارشد در رشته‌ی شیمی (معدنی)

اثر گروه‌های الکترون‌دهنده و الکترون‌کشنده بر روی  
پایداری حالت یکتایی و سه‌تایی ترکیبات حلقوی هفت  
عضوی کاربنی، سیلیلینی، ژرمیلینی، استانیلینی و پلمبیلینی  
 $C_6H_7MX$  (M=C, Si, Ge, Sn, Pb)

### DFT محاسباتی

توسط:

عین‌الله ابوالفتحی

استادان راهنما:

دکتر محسن نیکورزم و دکتر اسماعیل وصالی

استاد مشاور:

دکتر حمید گودرزی افشار

شهریور ۱۳۹۱



به نام خدا

انترگروههای الکتروندهنده و الکترون کشنده بر روی پایداری حالت یکتایی و سه تایی ترکیبات حلقوی هفت عضوی کاربنی، سیلیلینی، ژرمیلینی، استانیلینی و پلیسیلینی DFT با استفاده از روش محاسباتی  $C_6H_7MX$  ( $M=C, Si, Ge, Sn, Pb$ )

توسط:

عین الله ابوالفتحی

پایان نامه ارائه شده به تحصیلات تکمیلی دانشگاه به عنوان بخشی از فعالیت‌های تحصیلی لازم برای اخذ درجه کارشناسی ارشد

در رشته‌ی:

شیمی (معدنی)

از دانشگاه ایلام

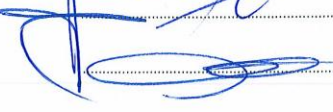
ایلام

جمهوری اسلامی ایران

در تاریخ ۱۳۹۱/۷/۱۱ توسط هیأت داوران زیر اذیکاری و با درجه ..... به تصویب نهایی رسید.

دکتر محسن نیکورزم؛ استادیار گروه شیمی (راهنما و رئیس هیأت داوران) 

دکتر حمید گودرزی افشار، استادیار گروه شیمی (مشاور) 

دکتر علی نقی پور، استادیار گروه شیمی (داور) 

دکتر رضا صحرابی، استادیار گروه شیمی (داور) 

شهریور ۱۳۹۱

## تقدیر و سپاسگزاری

سپاس خداوندی را که سخنوران از ستودن او عاجزند و حسابگران از شمارش نعمت‌های او ناتوان و تلاشگران از ادائی حق او درمانده‌اند.

از استاد راهنمای فرزانه و بزرگوارم جناب آقای دکتر نیکورزم و آقای دکتر وصالی به خاطر لطف و محبت فراوان، راهنمایی‌های ارزنده و حمایت مداومشان در طول این پروژه نهایت امتنان و تشکر را دارم.

از استاد مشاور بزرگوارم جناب آقای دکتر گودرزی که مرا در انجام این پروژه یاری نمودند کمال تشکر را دارم.

از استاد ارجمند و بزرگوار آقایان دکتر نقی‌پور و دکتر صحرائی که قبول زحمت فرموده و به عنوان استاد داور در کمیته بررسی پایان نامه شرکت نمودند صمیمانه تشکر می‌نمایم.

همچنین آنچه ادب بر من حکم می‌کند این است که در اینجا از زحمات تمامی کسانی که مرا در انجام این پایان نامه یاری رسانده‌اند قدردانی نمایم.

## چکیده

اثر گروه‌های الکترون‌دهنده و الکترون‌کشنده بر روی پایداری حالت یکتایی و سه‌تایی ترکیبات حلقوی هفت‌عضوی کاربنی، سیلیلینی، ژرمیلینی، استانیلینی و پلمبیلینی ( $\text{C}_6\text{H}_7\text{MX}$  ( $\text{M}=\text{C}, \text{Si}, \text{Ge}, \text{Sn}, \text{Pb}$ ) با استفاده از روش محاسباتی DFT

## توسط:

### عین الله ابوالفتحی

در این پایان‌نامه با استفاده از نرم‌افزار گوسین ۹۸ نسخه A7 محاسبات کامل از اساس و DFT به‌وسیله روش B3LYP و مجموعه پایه  $\text{G}^{**-6-311++\text{G}}$ ، بر روی حالت‌های یکتایی و سه‌تایی تعداد زیادی از گونه‌های حدوداً دو ظرفیتی شامل عناصر گروه ۱۴ جدول تناوبی که همگی همولوگ‌های کاربن با فرمول کلی  $\text{R}_2\text{C}_6\text{H}_6\text{M}$  و  $\text{XC}_6\text{H}_7\text{M}$  که  $\text{X} = -\text{NH}_2, -\text{OH}, -\text{CH}_3, -\text{H}, -\text{Br}, -\text{F}, -\text{Cl}$  و  $\text{M}=\text{C}, \text{Si}, \text{Ge}, \text{Sn}, \text{Pb}$  می‌باشد، انجام شده است. اثر استخلاف‌های مختلف در موقعیت (R =  $-\text{CH}_3, -\text{i-pr}, -\text{tert-Bu}, -\text{CF}_3, -\text{NO}_2$ ) و بتای (β) سیستم حلقوی هفت‌عضوی  $\text{XC}_6\text{H}_7\text{M}$  بر ساختارهای هندسی و شکاف انرژی یکتایی-آلfa (α) و بتای (β) آنها نشان داد که استخلاف‌های الکترون‌دهنده و الکترون‌کشنده ترتیب پایداری متفاوتی را ارائه می‌کنند. سه‌تایی آنها نشان داد که استخلاف‌های الکترون‌دهنده و الکترون‌کشنده ترتیب پایداری متفاوتی را ارائه می‌کنند. برای موقعیت آلفای ترکیبات هفت‌عضوی حلقوی  $\text{XC}_6\text{H}_7\text{M}$  در حالتی که  $\text{M}=\text{C}, \text{Si}, \text{Ge}, \text{Sn}, \text{Pb}$  گروه‌های دهنده اختلاف انرژی را کاهش و گروه‌های اکترون‌کشنده اختلاف انرژی را افزایش می‌دهند.

برای موقعیت بتای ترکیبات هفت‌عضوی حلقوی  $\text{XC}_6\text{H}_7\text{M}$  در حالتی که  $\text{M}=\text{C}, \text{Si}, \text{Ge}, \text{Sn}, \text{Pb}$  گروه‌های دهنده اختلاف انرژی را کاهش و گروه‌های اکترون‌کشنده اختلاف انرژی را افزایش می‌دهند. اثر فضایی گروه‌های آلکیل (R =  $-\text{CH}_3, -\text{i-pr}, -\text{tert-Bu}$ ) بر روی موقعیت آلفا (α) ترکیبات  $\text{R}_2\text{C}_6\text{H}_6\text{M}$  مطالعه گردید. برای کاربن‌ها حالت پایه سه‌تایی بدست آمد. در ترکیبات  $\text{R}_2\text{C}_6\text{H}_6\text{M}$  حالت پایه یکتایی برای  $\text{M}=\text{Si}, \text{Ge}, \text{Sn}, \text{Pb}$  بدست آمد.

در تمام ترکیبات  $\text{XC}_6\text{H}_7\text{M}$  و  $\text{R}_2\text{C}_6\text{H}_6\text{M}$  که  $\text{M}=\text{C}, \text{Si}, \text{Ge}, \text{Sn}, \text{Pb}$  (M=C) اختلاف انرژی آزاد گیبس از  $\Delta G_{\text{t-s}}$  از  $\text{M}=\text{Ge}$  به سمت  $\text{M}=\text{Pb}$  افزایش می‌یابد و از  $\text{M}=\text{Ge}$  به سمت  $\text{M}=\text{C}$  کاهش می‌یابد. همچنین نسبت بین همه پارامترها از قبیل اختلاف بین همه انرژی‌ها، پارامترهای هندسی، بار NBO روی اتم‌ها، انرژی‌های HOMO، LUMO، ممان دوقطبی، سختی شیمیایی و الکتروفیلیسیته نیز بدست آمده‌اند.

# فهرست مطالب

## عنوان

## صفحه

ر	فهرست جدول ها
غ	فهرست شکل ها
ف	فهرست نشانه های اختصاری
	<b>فصل اول (مقدمه)</b>
۲	۱-۱- مقدمه
۲	۲-۱- معرفی ساختار و ویژگی کاربن ها
۵	۳-۱- ساختار و چندگانگی اسپین در سیلیلن ها، ژرمیلن ها، استانیلن ها و پلمبیلن ها
۸	۴-۱- کاربردها و واکنش پذیری کاربن ها
۱۳	۵-۱- مروری بر تحقیقات انجام شده
	<b>فصل دوم (شیمی محاسباتی، روش های محاسباتی، روش های کار و تجربیات)</b>
۲۴	۱-۲- پیشینه‌ی شیمی محاسباتی
۲۵	۲-۲- زمینه‌های شیمی محاسباتی
۲۵	۱-۲-۲- مکانیک مولکولی
۲۵	۲-۲-۲- روش های ساختارالکترونی
۲۶	۳-۲- روش تابعیت چگالی الکترونی (DFT)
	<b>فصل سوم (بحث و نتیجه گیری)</b>
۲۸	۳- بحث و نتیجه گیری
۲۹	۱-۳- بررسی محاسباتی حالت یکتاپی و سهتاپی کاربن ها، سیلیلن ها، ژرمیلن ها، استانیلن ها و پلمبیلن های حلقوی هفت عضوی $XC_6H_7M$ که در موقعیت آلفای حلقه گروههای (-NH <sub>2</sub> , -OH, -CH <sub>3</sub> , -H, -Br, -Cl, -F, -CF <sub>3</sub> , -NO <sub>2</sub> ) قرار دارند.
۶۷	۲-۳- خلاصه‌ی نتایج (۱)
۶۹	۳-۳- بررسی محاسباتی حالت یکتاپی و سهتاپی کاربن ها، سیلیلن ها، ژرمیلن ها، استانیلن ها و پلمبیلن های حلقوی هفت عضوی $XC_6H_7M$ که در موقعیت بتای حلقه گروههای (-NH <sub>2</sub> , -OH, -CH <sub>3</sub> , -H, -Br, -Cl, -F, -CF <sub>3</sub> , -NO <sub>2</sub> ) قرار دارند.
۱۰۶	۴-۳- خلاصه‌ی نتایج (۲)
۱۰۸	۵- بررسی پایداری سیستم حلقوی هفت عضوی $R_2C_6H_6M$ که در موقعیت دوم و هفتم گروه های (R = -CH <sub>3</sub> , -i-pro, -tert-Bu) قرار دارند.
۱۴۱	۶-۳- خلاصه نتایج (۳)

## فهرست جدول‌ها

### عنوان و شماره

### صفحه

- جدول ۱-۱- واکنش پذیری نسبی کاربن‌ها نسبت به آلکن‌ها  
۱۰
- جدول ۳-۱- انرژی درونی (E)، آنتالپی (H)، انرژی آزاد گیس (G) و انرژی‌های کل (E<sub>T</sub>) برای ساختار کاربنی در سیستم حلقوی هفت‌عضوی XC<sub>6</sub>H<sub>7</sub>C که (-NH<sub>2</sub>, -) 6-311++G\*\* با مجموعه پایه (OH, -CH<sub>3</sub>, -H, -Br, -Cl, -F, -CF<sub>3</sub>, -NO<sub>2</sub> واحد انرژی بر حسب کیلوکالری برمول می‌باشد.
- جدول ۲-۳- انرژی درونی (E)، آنتالپی (H)، انرژی آزاد گیس (G) و انرژی‌های کل (E<sub>T</sub>) برای ساختار سیلیلینی در سیستم حلقوی هفت‌عضوی XC<sub>6</sub>H<sub>7</sub>Si که (-NH<sub>2</sub>, -) 6-311++G\*\* با مجموعه پایه (OH, -CH<sub>3</sub>, -H, -Br, -Cl, -F, -CF<sub>3</sub>, -NO<sub>2</sub> واحد انرژی بر حسب کیلوکالری برمول می‌باشد.
- جدول ۳-۳- انرژی درونی (E)، آنتالپی (H)، انرژی آزاد گیس (G) و انرژی‌های کل (E<sub>T</sub>) برای ساختار ژرمیلینی در سیستم حلقوی هفت‌عضوی XC<sub>6</sub>H<sub>7</sub>Ge که (-NH<sub>2</sub>, -) 6-311++G\*\* با مجموعه پایه (-OH, -CH<sub>3</sub>, -H, -Br, -Cl, -F, -CF<sub>3</sub>, -NO<sub>2</sub> واحد انرژی بر حسب کیلوکالری برمول می‌باشد.
- جدول ۴-۳- انرژی درونی (E)، آنتالپی (H)، انرژی آزاد گیس (G) و انرژی‌های کل (E<sub>T</sub>) برای ساختار استانیلینی در سیستم حلقوی هفت‌عضوی XC<sub>6</sub>H<sub>7</sub>Sn که (-NH<sub>2</sub>, -) 6-311++G\*\* با مجموعه پایه (-OH, -CH<sub>3</sub>, -H, -Br, -Cl, -F, -CF<sub>3</sub>, -NO<sub>2</sub> واحد انرژی بر حسب کیلوکالری برمول می‌باشد.
- جدول ۵-۳- انرژی درونی (E)، آنتالپی (H)، انرژی آزاد گیس (G) و انرژی‌های کل (E<sub>T</sub>) برای ساختار پلمبیلینی در سیستم حلقوی هفت‌عضوی XC<sub>6</sub>H<sub>7</sub>Pb که (-NH<sub>2</sub>, -) 6-311++G\*\* با مجموعه پایه (-OH, -CH<sub>3</sub>, -H, -Br, -Cl, -F, -CF<sub>3</sub>, -NO<sub>2</sub> واحد انرژی بر حسب کیلوکالری برمول می‌باشد.
- جدول ۶-۳- اختلاف انرژی درونی ΔE<sub>t-s</sub>، اختلاف آنتالپی ΔH<sub>t-s</sub>، اختلاف انرژی آزاد گیس ΔG<sub>t-s</sub> و اختلاف انرژی کل ΔE<sub>T(t-s)</sub> بین حالت یکتاپی و سه‌تاپی برای ساختار کاربنی در یک سیستم حلقوی هفت‌عضوی XC<sub>6</sub>H<sub>7</sub>C که (-NH<sub>2</sub>, -OH, -CH<sub>3</sub>, -) 6-311++G\*\* با مجموعه پایه (H, -Br, -Cl, -F, -CF<sub>3</sub>, -NO<sub>2</sub>

۳۶	<b>جدول ۷-۳</b> - اختلاف انرژی درونی $\Delta E_{t-s}$ , $\Delta H_{t-s}$ , اختلاف آنتالپی $\Delta H_{t-s}$ , اختلاف انرژی آزاد گیس $\Delta G_{t-s}$ و اختلاف انرژی کل $\Delta E_{T(t-s)}$ بین حالت یکتایی و سه تایی برای ساختار $X = -NH_2, -OH, -CH_3$ , $XC_6H_7Si$ که ( ) با مجموعه پایه ۶-۳۱۱++G** (-H, -Br, -Cl, -F, -CF <sub>3</sub> , -NO <sub>2</sub> )
۳۷	<b>جدول ۸-۳</b> - اختلاف انرژی درونی $\Delta E_{t-s}$ , $\Delta H_{t-s}$ , اختلاف آنتالپی $\Delta H_{t-s}$ , اختلاف انرژی آزاد گیس $\Delta G_{t-s}$ و اختلاف انرژی کل $\Delta E_{T(t-s)}$ بین حالت یکتایی و سه تایی برای ساختار $X = -NH_2, -OH, -CH_3$ , $XC_6H_7Ge$ که ( -) با مجموعه پایه (CH <sub>3</sub> , -H, -Br, -Cl, -F, -CF <sub>3</sub> , -NO <sub>2</sub> ) ۶-۳۱۱++G**
۳۸	<b>جدول ۹-۳</b> - اختلاف انرژی درونی $\Delta E_{t-s}$ , $\Delta H_{t-s}$ , اختلاف آنتالپی $\Delta H_{t-s}$ , اختلاف انرژی آزاد گیس $\Delta G_{t-s}$ و اختلاف انرژی کل $\Delta E_{T(t-s)}$ بین حالت یکتایی و سه تایی برای ساختار $X = -NH_2, -OH, -CH_3$ , $XC_6H_7Sn$ که ( -) با مجموعه پایه (CH <sub>3</sub> , -H, -Br, -Cl, -F, -CF <sub>3</sub> , -NO <sub>2</sub> ) ۶-۳۱۱++G**
۳۹	<b>جدول ۱۰-۳</b> - اختلاف انرژی درونی $\Delta E_{t-s}$ , $\Delta H_{t-s}$ , اختلاف آنتالپی $\Delta H_{t-s}$ , اختلاف انرژی آزاد گیس $\Delta G_{t-s}$ و اختلاف انرژی کل $\Delta E_{T(t-s)}$ بین حالت یکتایی و سه تایی برای ساختار $X = -NH_2, -OH, -CH_3$ , $XC_6H_7Pb$ که ( -) با مجموعه پایه (CH <sub>3</sub> , -H, -Br, -Cl, -F, -CF <sub>3</sub> , -NO <sub>2</sub> ) ۶-۳۱۱++G**
۴۲	<b>جدول ۱۱-۳</b> - طول پیوند (R/Å) برای سیستم حلقوی هفت عضوی $XC_6H_7C$ که ( ) با مجموعه پایه ۶- ۳۱۱++G**
۴۳	<b>جدول ۱۲-۳</b> - طول پیوند (R/Å) برای سیستم حلقوی هفت عضوی $XC_6H_7Si$ که ( ) با مجموعه پایه ۶- ۳۱۱++G**
۴۴	<b>جدول ۱۳-۳</b> - طول پیوند (R/Å) برای سیستم حلقوی هفت عضوی $XC_6H_7Ge$ که ( ) با مجموعه پایه ۶- ۳۱۱++G**
۴۵	<b>جدول ۱۴-۳</b> - طول پیوند (R/Å) برای سیستم حلقوی هفت عضوی $XC_6H_7Sn$ که ( ) با مجموعه پایه ۶- ۳۱۱++G**
۴۶	<b>جدول ۱۵-۳</b> - طول پیوند (R/Å) برای سیستم حلقوی هفت عضوی $XC_6H_7Pb$ که ( ) با مجموعه پایه ۶- ۳۱۱++G**
۵۱	<b>جدول ۱۶-۳</b> - زاویه پیوند (A) حالت یکتایی و سه تایی برای سیستم حلقوی هفت عضوی $X = -NH_2, -OH, -CH_3, -H, -Br$ , (M=C, Si, Ge, Sn, Pb) $XC_6H_7M$ که ( ) با مجموعه پایه ۶-۳۱۱++G** (-Cl, -F, -CF <sub>3</sub> , -NO <sub>2</sub> )

۵۲	جدول ۱۷-۳ - زاویه دووجهی $D_{7,1,2,3}$ حالت یکتایی و سه تایی برای سیستم حلقوی هفت عضوی $X = -\text{NH}_2, -\text{OH}, -\text{CH}_3, -\text{H}, \text{XC}_6\text{H}_7\text{M} (\text{M}=\text{C}, \text{Si}, \text{Ge}, \text{Sn}, \text{Pb})$ که ( ) ۶-311++G**(-Br, -Cl, -F, -CF <sub>3</sub> , -NO <sub>2</sub> ) با مجموعه پایه
۵۴	جدول ۱۸-۳ - پارامتر بهینه شده ساختار $\text{XC}_6\text{H}_7\text{C}$ که ( ) شامل بار روی اتم‌های کربن و ممان دو قطبی با ۶-311++G** POP=NBO مجموعه پایه
۵۵	جدول ۱۹-۳ - پارامتر بهینه شده ساختار $\text{XC}_6\text{H}_7\text{Si}$ که ( ) شامل بار روی اتم‌های کربن و ممان دو قطبی با ۶-311++G** POP=NBO مجموعه پایه
۵۶	جدول ۲۰-۳ - پارامتر بهینه شده ساختار $\text{XC}_6\text{H}_7\text{Ge}$ که ( ) شامل بار روی اتم‌های کربن و ممان دو قطبی با ۶-311++G** POP=NBO مجموعه پایه
۵۷	جدول ۲۱-۳ - پارامتر بهینه شده ساختار $\text{XC}_6\text{H}_7\text{Sn}$ که ( ) شامل بار روی اتم‌های کربن و ممان دو قطبی با ۶-311++G** POP=NBO مجموعه پایه
۵۸	جدول ۲۲-۳ - پارامتر بهینه شده ساختار $\text{XC}_6\text{H}_7\text{Pb}$ که ( ) شامل بار روی اتم‌های کربن و ممان دو قطبی با ۶-311++G** POP=NBO مجموعه پایه
۶۱	جدول ۲۳-۳ - LUMO، سختی شیمیایی ( $\eta$ )، پتانسیل شیمیایی ( $\mu$ ) و الکتروفیلیسیته ( $\omega$ ) بر حسب الکترونولت برای ترکیبات حلقوی هفت عضوی $\text{XC}_6\text{H}_7\text{C}$ با ۶-311++G** مجموعه پایه
۶۲	جدول ۲۴-۳ - LUMO، HOMO، سختی شیمیایی ( $\eta$ )، پتانسیل شیمیایی ( $\mu$ ) و الکتروفیلیسیته ( $\omega$ ) بر حسب الکترونولت برای ترکیبات حلقوی هفت عضوی $\text{XC}_6\text{H}_7\text{Si}$ با ۶-311++G** مجموعه پایه
۶۳	جدول ۲۵-۳ - LUMO، HOMO، سختی شیمیایی ( $\eta$ )، پتانسیل شیمیایی ( $\mu$ ) و الکتروفیلیسیته ( $\omega$ ) بر حسب الکترونولت برای ترکیبات حلقوی هفت عضوی $\text{XC}_6\text{H}_7\text{Ge}$ با ۶-311++G** مجموعه پایه
۶۴	جدول ۲۶-۳ - LUMO، HOMO و سختی شیمیایی ( $\eta$ ) و پتانسیل شیمیایی ( $\mu$ ) و الکتروفیلیسیته ( $\omega$ ) بر حسب الکترون ولت برای ترکیبات حلقوی هفت عضوی $\text{XC}_6\text{H}_7\text{Sn}$ با ۶-311++G** مجموعه پایه
۶۵	جدول ۲۷-۳ - LUMO، HOMO، سختی شیمیایی ( $\eta$ )، پتانسیل شیمیایی ( $\mu$ ) و الکتروفیلیسیته ( $\omega$ ) بر حسب الکترونولت برای ترکیبات حلقوی هفت عضوی $\text{XC}_6\text{H}_7\text{Pb}$ با ۶-311++G** مجموعه پایه

۷۰	<b>جدول ۲۸-۳</b> - انرژی درونی (E)، آنتالپی (H)، انرژی آزاد گیس (G) و انرژی‌های کل (E <sub>T</sub> ) برای ساختار کاربنی در سیستم حلقوی هفت‌عضوی XC <sub>6</sub> H <sub>7</sub> C که (-NH <sub>2</sub> , -) با مجموعه پایه 6-311++G** (OH, -CH <sub>3</sub> , -H, -Br, -Cl, -F, -CF <sub>3</sub> , -NO <sub>2</sub> ) واحد انرژی بر حسب کیلوکالری بر مول می‌باشد.
۷۱	<b>جدول ۲۹-۳</b> - انرژی درونی (E)، آنتالپی (H)، انرژی آزاد گیس (G) و انرژی‌های کل (E <sub>T</sub> ) برای ساختار سیلیلینی در سیستم حلقوی هفت‌عضوی XC <sub>6</sub> H <sub>7</sub> Si که (-NH <sub>2</sub> , -) با مجموعه پایه 6-311++G** (OH, -CH <sub>3</sub> , -H, -Br, -Cl, -F, -CF <sub>3</sub> , -NO <sub>2</sub> ) واحد انرژی بر حسب کیلوکالری بر مول می‌باشد.
۷۲	<b>جدول ۳۰-۳</b> - انرژی درونی (E)، آنتالپی (H)، انرژی آزاد گیس (G) و انرژی‌های کل (E <sub>T</sub> ) برای ساختار ژرمیلینی در سیستم حلقوی هفت‌عضوی XC <sub>6</sub> H <sub>7</sub> Ge که (-NH <sub>2</sub> , -OH, -CH <sub>3</sub> , -H, -Br, -Cl, -F, -CF <sub>3</sub> , -NO <sub>2</sub> ) با مجموعه پایه 6-311++G** که واحد انرژی بر حسب کیلوکالری بر مول می‌باشد.
۷۳	<b>جدول ۳۱-۳</b> - انرژی درونی (E)، آنتالپی (H)، انرژی آزاد گیس (G) و انرژی‌های کل (E <sub>T</sub> ) برای ساختار استانیلینی در سیستم حلقوی هفت‌عضوی XC <sub>6</sub> H <sub>7</sub> Sn که (-NH <sub>2</sub> , -OH, -CH <sub>3</sub> , -H, -Br, -Cl, -F, -CF <sub>3</sub> , -NO <sub>2</sub> ) با مجموعه پایه 6-311++G** که واحد انرژی بر حسب کیلوکالری بر مول می‌باشد.
۷۴	<b>جدول ۳۲-۳</b> - انرژی درونی (E)، آنتالپی (H)، انرژی آزاد گیس (G) و انرژی‌های کل (E <sub>T</sub> ) برای ساختار پلمبیلینی در سیستم حلقوی هفت‌عضوی XC <sub>6</sub> H <sub>7</sub> Pb که (-NH <sub>2</sub> , -OH, -CH <sub>3</sub> , -H, -Br, -Cl, -F, -CF <sub>3</sub> , -NO <sub>2</sub> ) با مجموعه پایه 6-311++G** که واحد انرژی بر حسب کیلوکالری بر مول می‌باشد.
۷۵	<b>جدول ۳۳-۳</b> - اختلاف انرژی درونی ΔE <sub>t-s</sub> ، اختلاف آنتالپی ΔH <sub>t-s</sub> ، اختلاف انرژی آزاد گیس ΔG <sub>t-s</sub> و اختلاف انرژی کل ΔE <sub>T(t-s)</sub> بین حالت یکتایی و سه‌تایی برای ساختار کاربنی در یک سیستم حلقوی هفت‌عضوی XC <sub>6</sub> H <sub>7</sub> C که (-NH <sub>2</sub> , -OH, -CH <sub>3</sub> , -H, -Br, -Cl, -F, -CF <sub>3</sub> , -NO <sub>2</sub> ) با مجموعه پایه 6-311++G** (H, -Br, -Cl, -F, -CF <sub>3</sub> , -NO <sub>2</sub> ) واحد انرژی بر حسب کیلوکالری بر مول می‌باشد.
۷۶	<b>جدول ۳۴-۳</b> - اختلاف انرژی درونی ΔE <sub>t-s</sub> ، اختلاف آنتالپی ΔH <sub>t-s</sub> ، اختلاف انرژی آزاد گیس ΔG <sub>t-s</sub> و اختلاف انرژی کل ΔE <sub>T(t-s)</sub> بین حالت یکتایی و سه‌تایی برای ساختار سیلیلینی در یک سیستم حلقوی هفت‌عضوی XC <sub>6</sub> H <sub>7</sub> Si که (-NH <sub>2</sub> , -OH, -CH <sub>3</sub> , -H, -Br, -Cl, -F, -CF <sub>3</sub> , -NO <sub>2</sub> ) با مجموعه پایه 6-311++G** (-H, -Br, -Cl, -F, -CF <sub>3</sub> , -NO <sub>2</sub> ) واحد انرژی بر حسب کیلوکالری بر مول می‌باشد.
۷۷	<b>جدول ۳۵-۳</b> - اختلاف انرژی درونی ΔE <sub>t-s</sub> ، اختلاف آنتالپی ΔH <sub>t-s</sub> ، اختلاف انرژی آزاد گیس ΔG <sub>t-s</sub> و اختلاف انرژی کل ΔE <sub>T(t-s)</sub> بین حالت یکتایی و سه‌تایی برای ساختار ژرمیلینی در یک سیستم حلقوی هفت‌عضوی XC <sub>6</sub> H <sub>7</sub> Ge که (-NH <sub>2</sub> , -OH, -CH <sub>3</sub> , -H, -Br, -Cl, -F, -CF <sub>3</sub> , -NO <sub>2</sub> ) با مجموعه پایه (CH <sub>3</sub> , -H, -Br, -Cl, -F, -CF <sub>3</sub> , -NO <sub>2</sub> ) واحد انرژی بر حسب کیلوکالری بر مول می‌باشد.

۷۸	<b>جدول ۳۶-۳</b> - اختلاف انرژی درونی $\Delta E_{t-s}$ , اختلاف آنتالپی $\Delta H_{t-s}$ , اختلاف انرژی آزاد گیس $\Delta G_{t-s}$ و اختلاف انرژی کل $\Delta E_{T(t-s)}$ بین حالت یکتایی و سه تایی برای ساختار استانیلنی در یک سیستم حلقوی هفت عضوی $XC_6H_7Sn$ که ) -NH <sub>2</sub> , -OH, -) که $XC_6H_7Sn$ ( با مجموعه پایه * 6-311++G***(CH <sub>3</sub> , -H, -Br, -Cl, -F, -CF <sub>3</sub> , -NO <sub>2</sub>
۷۹	<b>جدول ۳۷-۳</b> - اختلاف انرژی درونی $\Delta E_{t-s}$ , اختلاف آنتالپی $\Delta H_{t-s}$ , اختلاف انرژی آزاد گیس $\Delta G_{t-s}$ و اختلاف انرژی کل $\Delta E_{T(t-s)}$ بین حالت یکتایی و سه تایی برای ساختار پلمبیلنی در یک سیستم حلقوی هفت عضوی $XC_6H_7Pb$ که ) -NH <sub>2</sub> , -OH, -) که $XC_6H_7Pb$ ( با مجموعه پایه * 6-311++G***(CH <sub>3</sub> , -H, -Br, -Cl, -F, -CF <sub>3</sub> , -NO <sub>2</sub>
۸۲	<b>جدول ۳۸-۳</b> - طول پیوند (R/ $\text{\AA}$ ) برای سیستم حلقوی هفت عضوی $XC_6H_7C$ که ) -X C <sub>6</sub> H <sub>7</sub> C ( با مجموعه پایه -NH <sub>2</sub> , -OH, -CH <sub>3</sub> , -H, -Br, -Cl, -F, -CF <sub>3</sub> , -NO <sub>2</sub> 311++G**
۸۳	<b>جدول ۳۹-۳</b> - طول پیوند (R/ $\text{\AA}$ ) برای سیستم حلقوی هفت عضوی $XC_6H_7Si$ که ) -X C <sub>6</sub> H <sub>7</sub> Si ( با مجموعه پایه -NH <sub>2</sub> , -OH, -CH <sub>3</sub> , -H, -Br, -Cl, -F, -CF <sub>3</sub> , -NO <sub>2</sub> 311++G**
۸۴	<b>جدول ۴۰-۳</b> - طول پیوند (R/ $\text{\AA}$ ) برای سیستم حلقوی هفت عضوی $XC_6H_7Ge$ که ) -X C <sub>6</sub> H <sub>7</sub> Ge ( با مجموعه پایه -NH <sub>2</sub> , -OH, -CH <sub>3</sub> , -H, -Br, -Cl, -F, -CF <sub>3</sub> , -NO <sub>2</sub> 311++G**
۸۵	<b>جدول ۴۱-۳</b> - طول پیوند (R/ $\text{\AA}$ ) برای سیستم حلقوی هفت عضوی $XC_6H_7Sn$ که ) -X C <sub>6</sub> H <sub>7</sub> Sn ( با مجموعه پایه -NH <sub>2</sub> , -OH, -CH <sub>3</sub> , -H, -Br, -Cl, -F, -CF <sub>3</sub> , -NO <sub>2</sub> 311++G**
۸۶	<b>جدول ۴۲-۳</b> - طول پیوند (R/ $\text{\AA}$ ) برای سیستم حلقوی هفت عضوی $XC_6H_7Pb$ که ) -X C <sub>6</sub> H <sub>7</sub> Pb ( با مجموعه پایه -NH <sub>2</sub> , -OH, -CH <sub>3</sub> , -H, -Br, -Cl, -F, -CF <sub>3</sub> , -NO <sub>2</sub> 311++G**
۹۰	<b>جدول ۴۳-۳</b> - زاویه پیوند (A) حالت یکتایی و سه تایی برای سیستم حلقوی هفت عضوی $XC_6H_7M$ که ) -X C <sub>6</sub> H <sub>7</sub> M ( M=C, Si, Ge, Sn, Pb ) با مجموعه پایه -Cl, -F, -CF <sub>3</sub> , -NO <sub>2</sub> 6-311++G**
۹۱	<b>جدول ۴۴-۳</b> - زاویه دووجمی D <sub>7,1,2,3</sub> حالت یکتایی و سه تایی برای سیستم حلقوی هفت عضوی $XC_6H_7M$ که ) -X C <sub>6</sub> H <sub>7</sub> M ( M=C, Si, Ge, Sn, Pb ) با مجموعه پایه -H, -Br, -Cl, -F, -CF <sub>3</sub> , -NO <sub>2</sub> 6-311++G**
۹۳	<b>جدول ۴۵-۳</b> - پارامتر بهینه شده ساختار $XC_6H_7C$ که ) -X C <sub>6</sub> H <sub>7</sub> C ( شامل بار روی اتم های کربن و ممان دو قطبی با مجموعه پایه (H, -Br, -Cl, -F, -CF <sub>3</sub> , -NO <sub>2</sub> 6-311++G** POP=NBO

۹۴	<b>جدول ۴۶-۳</b> - پارامتر بهینه شده ساختار $XC_6H_7Si$ که ( ) $X = -NH_2, -OH, -CH_3, -H, -Br, -Cl, -F, -CF_3, -NO_2$ شامل بار روی اتم های کربن و ممان دو قطبی با $6-311++G^{**}$ POP=NBO
۹۵	<b>جدول ۴۷-۳</b> - پارامتر بهینه شده ساختار $XC_6H_7Ge$ که ( ) $X = -NH_2, -OH, -CH_3, -H, -Br, -Cl, -F, -CF_3, -NO_2$ شامل بار روی اتم های کربن و ممان دو قطبی با $6-311++G^{**}$ POP=NBO
۹۶	<b>جدول ۴۸-۳</b> - پارامتر بهینه شده ساختار $XC_6H_7Sn$ که ( ) $X = -NH_2, -OH, -CH_3, -H, -Br, -Cl, -F, -CF_3, -NO_2$ شامل بار روی اتم های کربن و ممان دو قطبی با $6-311++G^{**}$ POP=NBO
۹۷	<b>جدول ۴۹-۳</b> - پارامتر بهینه شده ساختار $XC_6H_7Pb$ که ( ) $X = -NH_2, -OH, -CH_3, -H, -Br, -Cl, -F, -CF_3, -NO_2$ شامل بار روی اتم های کربن و ممان دو قطبی با $6-311++G^{**}$ POP=NBO
۱۰۰	<b>جدول ۵۰-۳</b> - HOMO، سختی شیمیابی ( $\eta$ )، پتانسیل شیمیابی ( $\mu$ ) و الکتروفیلیستیه ( $\omega$ ) بر حسب الکترونولت برای ترکیبات حلقوی هفت عضوی $XC_6H_7C$ با $6-311++G^{**}$
۱۰۱	<b>جدول ۵۱-۳</b> - HOMO، سختی شیمیابی ( $\eta$ )، پتانسیل شیمیابی ( $\mu$ ) و الکتروفیلیستیه ( $\omega$ ) بر حسب الکترونولت برای ترکیبات حلقوی هفت عضوی $Si$ با $6-311++G^{**}$
۱۰۲	<b>جدول ۵۲-۳</b> - HOMO، سختی شیمیابی ( $\eta$ )، پتانسیل شیمیابی ( $\mu$ ) و الکتروفیلیستیه ( $\omega$ ) بر حسب الکترونولت برای ترکیبات حلقوی هفت عضوی $Ge$ با $6-311++G^{**}$
۱۰۳	<b>جدول ۵۳-۳</b> - HOMO، سختی شیمیابی ( $\eta$ )، پتانسیل شیمیابی ( $\mu$ ) و الکتروفیلیستیه ( $\omega$ ) بر حسب الکترونولت برای ترکیبات حلقوی هفت عضوی $Sn$ با $6-311++G^{**}$
۱۰۴	<b>جدول ۵۴-۳</b> - HOMO، سختی شیمیابی ( $\eta$ ) و پتانسیل شیمیابی ( $\mu$ ) و الکتروفیلیستیه ( $\omega$ ) بر حسب الکترونولت برای ترکیبات حلقوی هفت عضوی $Pb$ با $6-311++G^{**}$
۱۰۹	<b>جدول ۵۵-۳</b> - انژی درونی (E)، آنتالپی (H)، انژی آزاد گیس (G) و انژی های کل (E <sub>T</sub> ) برای ساختار کاربندی در سیستم حلقوی هفت عضوی $C_6H_6R_2$ که ( ) $R = -CH_3, -i-pr, -tert-Bu$ با مجموعه پایه $6-311++G^{**}$ که واحد انژی بر حسب کیلو کالری بر مول می باشد.

- ۱۱۰ **جدول ۵۶-۳**- انرژی درونی (E)، آنتالپی (H)، انرژی آزاد گیس (G) و انرژی‌های کل (R = -CH<sub>3</sub>, R<sub>2</sub>C<sub>6</sub>H<sub>6</sub>Si) برای ساختار سیلیلنی در سیستم حلقوی هفت‌عضوی (R = -) 6-311++G\*\*-i-pr, -tert-Bu با مجموعه پایه‌ی (E<sub>T</sub>) برای ساختار سیلیلنی در سیستم حلقوی هفت‌عضوی (R = -) 6-311++G\*\*-i-pr, -tert-Bu که واحد انرژی بر حسب کیلوکالری بر مول می‌باشد.
- ۱۱۱ **جدول ۵۷-۳**- انرژی درونی (E)، آنتالپی (H)، انرژی آزاد گیس (G) و انرژی‌های کل (R = -) 6-311++G\*\*-i-pr, -tert-Bu برای ساختار ژرمیلنی در سیستم حلقوی هفت‌عضوی (R = -) 6-311++G\*\*-i-pr, -tert-Bu با مجموعه پایه‌ی (E<sub>T</sub>) برای ساختار ژرمیلنی در سیستم حلقوی هفت‌عضوی (R = -) 6-311++G\*\*-i-pr, -tert-Bu که واحد انرژی بر حسب کیلوکالری بر مول می‌باشد.
- ۱۱۲ **جدول ۵۸-۳**- انرژی درونی (E) و آنتالپی (H) و آنرژی آزاد گیس (G) و انرژی‌های کل (R = -) 6-311++G\*\*-i-pr, -tert-Bu برای ساختار استانیلنی در سیستم حلقوی هفت‌عضوی (R = -) 6-311++G\*\*-i-pr, -tert-Bu با مجموعه پایه‌ی (E<sub>T</sub>) برای ساختار استانیلنی در سیستم حلقوی هفت‌عضوی (R = -) 6-311++G\*\*-i-pr, -tert-Bu که واحد انرژی بر حسب کیلوکالری بر مول می‌باشد.
- ۱۱۳ **جدول ۵۹-۳**- انرژی درونی (E) و آنتالپی (H) و آنرژی آزاد گیس (G) و انرژی‌های کل (R = -) 6-311++G\*\*-i-pr, -tert-Bu برای ساختار پلمبیلنی در سیستم حلقوی هفت‌عضوی (R = -) 6-311++G\*\*-i-pr, -tert-Bu با مجموعه پایه‌ی (E<sub>T</sub>) برای ساختار پلمبیلنی در سیستم حلقوی هفت‌عضوی (R = -) 6-311++G\*\*-i-pr, -tert-Bu که واحد انرژی بر حسب کیلوکالری بر مول می‌باشد.
- ۱۱۴ **جدول ۶۰-۳**- اختلاف انرژی کل (ΔE<sub>T(t-s)</sub>، ΔH<sub>t-s</sub>، ΔE<sub>T(t-s)</sub>، اختلاف آنتالپی آزاد گیس ΔG<sub>t-s</sub> و اختلاف انرژی درونی ΔE<sub>t-s</sub> بین حالت یکتایی و سه‌تایی برای سیستم حلقوی هفت‌عضوی (R = -) 6-311++G\*\*-i-pr, -tert-Bu) با مجموعه پایه‌ی (E<sub>T</sub>) برای ساختار پلمبیلنی در سیستم حلقوی هفت‌عضوی (R = -) 6-311++G\*\*-i-pr, -tert-Bu که واحد انرژی بر حسب کیلوکالری بر مول می‌باشد.
- ۱۱۵ **جدول ۶۱-۳**- اختلاف انرژی کل (ΔE<sub>T(t-s)</sub>، ΔH<sub>t-s</sub>، ΔE<sub>T(t-s)</sub>، اختلاف آنتالپی آزاد گیس ΔG<sub>t-s</sub> و اختلاف انرژی درونی ΔE<sub>t-s</sub> بین حالت یکتایی و سه‌تایی برای سیستم حلقوی هفت‌عضوی (R = -) 6-311++G\*\*-i-pr, -tert-Bu) با مجموعه پایه‌ی (E<sub>T</sub>) برای ساختار استانیلنی در سیستم حلقوی هفت‌عضوی (R = -) 6-311++G\*\*-i-pr, -tert-Bu که واحد انرژی بر حسب کیلوکالری بر مول می‌باشد.
- ۱۱۶ **جدول ۶۲-۳**- اختلاف انرژی کل (ΔE<sub>T(t-s)</sub>، ΔH<sub>t-s</sub>، ΔE<sub>T(t-s)</sub>، اختلاف آنتالپی آزاد گیس ΔG<sub>t-s</sub> و اختلاف انرژی درونی ΔE<sub>t-s</sub> بین حالت یکتایی و سه‌تایی برای یک سیستم حلقوی هفت‌عضوی (R = -) 6-311++G\*\*-i-pr, -tert-Bu) با مجموعه پایه‌ی (E<sub>T</sub>) برای ساختار پلمبیلنی در سیستم حلقوی هفت‌عضوی (R = -) 6-311++G\*\*-i-pr, -tert-Bu که واحد انرژی بر حسب کیلوکالری بر مول می‌باشد.
- ۱۱۷ **جدول ۶۳-۳**- اختلاف انرژی کل (ΔE<sub>T(t-s)</sub>، ΔH<sub>t-s</sub>، ΔE<sub>T(t-s)</sub>، اختلاف آنتالپی آزاد گیس ΔG<sub>t-s</sub> و اختلاف انرژی درونی ΔE<sub>t-s</sub> بین حالت یکتایی و سه‌تایی برای سیستم حلقوی هفت‌عضوی (R = -) 6-311++G\*\*-i-pr, -tert-Bu) با مجموعه پایه‌ی (E<sub>T</sub>) برای ساختار استانیلنی در سیستم حلقوی هفت‌عضوی (R = -) 6-311++G\*\*-i-pr, -tert-Bu که واحد انرژی بر حسب کیلوکالری بر مول می‌باشد.

۱۱۸	جدول ۶۴-۳- اختلاف انرژی کل $\Delta E_{T(s)}$ , اختلاف آنتالپی $\Delta H_{T(s)}$ , اختلاف انرژی آزاد گیس $\Delta G_{T(s)}$ و اختلاف انرژی درونی $\Delta E_{T(s)}$ بین حالت یکتایی و سه تایی برای سیستم حلقوی هفت عضوی $R_2C_6H_6Pb$ که ( $R = -CH_3, -i-pr, -tert-Bu$ ) با مجموعه پایه ۶-۳۱۱++G**
۱۲۰	جدول ۶۵-۳- طول پیوند ( $R/\text{\AA}$ ) برای سیستم حلقوی هفت عضوی $R_2C_6H_6C$ که $R = R_2C_6H_6C$ با مجموعه پایه $-CH_3, -i-pr, -tert-Bu$ ۶-۳۱۱++G**
۱۲۱	جدول ۶۶-۳- طول پیوند ( $R/\text{\AA}$ ) برای سیستم حلقوی هفت عضوی $R_2C_6H_6Si$ که $R = R_2C_6H_6Si$ با مجموعه پایه $-CH_3, -i-pr, -tert-Bu$ ۶-۳۱۱++G**
۱۲۲	جدول ۶۷-۳- طول پیوند ( $R/\text{\AA}$ ) برای سیستم حلقوی هفت عضوی $R_2C_6H_6Ge$ که $R = R_2C_6H_6Ge$ با مجموعه پایه $-CH_3, -i-pr, -tert-Bu$ ۶-۳۱۱++G**
۱۲۳	جدول ۶۸-۳- طول پیوند ( $R/\text{\AA}$ ) برای سیستم حلقوی هفت عضوی $R_2C_6H_6Sn$ که $R = R_2C_6H_6Sn$ با مجموعه پایه $-CH_3, -i-pr, -tert-Bu$ ۶-۳۱۱++G**
۱۲۴	جدول ۶۹-۳- طول پیوند ( $R/\text{\AA}$ ) برای سیستم حلقوی هفت عضوی $R_2C_6H_6Pb$ که $R = R_2C_6H_6Pb$ با مجموعه پایه $-CH_3, -i-pr, -tert-Bu$ ۶-۳۱۱++G**
۱۲۷	جدول ۷۰-۳- زاویه پیوند ( $A/\text{}$ ) برای سیستم حلقوی هفت عضوی $R_2C_6H_6M$ که $R = R_2C_6H_6M$ و ( $M = C, Si, Ge, Sn, Pb$ ) با مجموعه پایه ۶- ۳۱۱++G**
۱۲۸	جدول ۷۱-۳- زاویه دووجهی $D_{7,1,2,3}$ برای سیستم حلقوی هفت عضوی $R_2C_6H_6M$ که $R = R_2C_6H_6M$ و ( $M = C, Si, Ge, Sn, Pb$ ) با مجموعه پایه ۶- ۳۱۱++G**
۱۳۰	جدول ۷۲-۳- پارامتر بهینه شده ساختار $R_2C_6H_6C$ که $R = Me, i-pr, tert-Bu$ شامل بار روی اتم های کربن و ممان دو قطبی با مجموعه پایه ۶-۳۱۱++G** POP=NBO
۱۳۱	جدول ۷۳-۳- پارامتر بهینه شده ساختار $R_2C_6H_6Si$ که $R = Me, i-pr, tert-Bu$ شامل بار روی اتم های کربن و ممان دو قطبی با مجموعه پایه ۶-۳۱۱++G** POP=NBO
۱۳۲	جدول ۷۴-۳- پارامتر بهینه شده ساختار $R_2C_6H_6Ge$ که $R = Me, i-pr, tert-Bu$ شامل بار روی اتم های کربن و ممان دو قطبی با مجموعه پایه ۶-۳۱۱++G** POP=NBO
۱۳۳	جدول ۷۵-۳- پارامتر بهینه شده ساختار $R_2C_6H_6Sn$ که $R = Me, i-pr, tert-Bu$ شامل بار روی اتم های کربن و ممان دو قطبی با مجموعه پایه ۶-۳۱۱++G** POP=NBO
۱۳۴	جدول ۷۶-۳- پارامتر بهینه شده ساختار $R_2C_6H_6Pb$ که $R = Me, i-pr, tert-Bu$ شامل بار روی اتم های کربن و ممان دو قطبی با مجموعه پایه ۶-۳۱۱++G** POP=NBO

- ١٣٦ **جدول ٧٧-٣** - LUMO، سختی شیمیایی ( $\eta$ )، پتانسیل شیمیایی ( $\mu$ ) و الکتروفیلیسیته ( $\omega$ ) بر حسب الکترون‌ولت برای ترکیبات حلقوی هفت‌عضوی  $R_2C_6H_6C$  با مجموعه پایه  $6-311++G^{**}$
- ١٣٧ **جدول ٧٨-٣** - LUMO، سختی شیمیایی ( $\eta$ )، پتانسیل شیمیایی ( $\mu$ ) و الکتروفیلیسیته ( $\omega$ ) بر حسب الکترون‌ولت برای ترکیبات حلقوی هفت‌عضوی  $R_2C_6H_6Si$  با مجموعه پایه  $6-311++G^{**}$
- ١٣٨ **جدول ٧٩-٣** - LUMO، سختی شیمیایی ( $\eta$ )، پتانسیل شیمیایی ( $\mu$ ) و الکتروفیلیسیته ( $\omega$ ) بر حسب الکترون‌ولت برای ترکیبات حلقوی هفت‌عضوی  $R_2C_6H_6Ge$  با مجموعه پایه  $6-311++G^{**}$
- ١٣٩ **جدول ٨٠-٣** - LUMO و سختی شیمیایی ( $\eta$ ) و پتانسیل شیمیایی ( $\mu$ ) و الکتروفیلیسیته ( $\omega$ ) بر حسب الکترون‌ولت برای ترکیبات حلقوی هفت‌عضوی  $R_2C_6H_6Sn$  با مجموعه پایه  $6-311++G^{**}$
- ١٤٠ **جدول ٨١-٣** - LUMO، سختی شیمیایی ( $\eta$ )، پتانسیل شیمیایی ( $\mu$ ) و الکتروفیلیسیته ( $\omega$ ) بر حسب الکترون‌ولت برای ترکیبات حلقوی هفت‌عضوی  $R_2C_6H_6Pb$  با مجموعه پایه  $6-311++G^{**}$

## فهرست شکل‌ها

### صفحه

### عنوان و شماره

- ۱-۱- شکل خطی و غیرخطی مرکز کاربنی
- ۲-۱- کنفیگوراسیونهای  $\sigma^2, \sigma\pi, \pi^2$  و  $\sigma\pi$
- ۳-۱- انرژی نسبی اوربیتال‌های  $\sigma$  و  $p_{\pi}$  کاربن‌های خطی و خمیده
- ۴-۱- حالت پایه الکترونی در سیلیلن‌ها و ژرمیلن‌ها
- ۵-۱- تغییرات انرژی اوربیتال‌های پیوندی کاربن‌ها و سیلیلن‌ها در اثر خمیده شدن
- ۶-۱- ساختار  $XC_6H_7M$  و موقعیت آلفای آن
- ۷-۱- ساختار  $XC_6H_7M$  و موقعیت بتای آن
- ۸-۱- ساختار  $R_2C_6H_6M$
- ۹-۱- سه کنفیگوراسیون موجود برای کاربن‌ها، سیلیلن‌ها، ژرمیلن‌ها، استانیلن‌ها و پلمبیلن‌ها
- ۱۰-۱- سه کنفیگوراسیون موجود برای کاربن‌ها، سیلیلن‌ها، ژرمیلن‌ها، استانیلن‌ها و پلمبیلن‌ها

## فهرست نشانه های اختصاری

Å	angstrom
DFT	Density Functional Theory
D	dihedral angle
E	thermal energy
H	enthalpy energy
G	free energy
HF	Hartree-Fock
i-pr	iso-propyl
t-Bu	tert-butyl
HOMO	highest occupied molecular orbital
LUMO	lowest unoccupied molecular orbital
NBO	Nonbonding Molecular Orbitals
s	singlet state
t	triplet state
$\eta$	chemical hardness
$\mu$	chemical potential
$\omega$	electrophilicity
$\Delta E_{t-s}$	thermal energy differences between singlet and triplet states
$\Delta H_{t-s}$	enthalpy energy differences between singlet and triplet states
$\Delta G_{t-s}$	free energy differences between singlet and triplet states

**فصل اول**

**مقدمہ**

## ۱-۱- مقدمه

کاربن‌ها<sup>۱</sup> را می‌توان به عنوان ترکیباتی که دارای یک اتم دوظرفیتی می‌باشند تعریف نمود. شش الکترون ظرفیتی در لایه‌های الکترونی اتم کربن این ترکیبات وجود دارد. این ترکیبات سابقه طولانی در علم شیمی داشته و مطالعه آن‌ها از حدود ۱۵۰ سال پیش آغاز شده است [۱]. کاربن‌ها در سال ۱۹۴۶ توسط فیشر به شیمی آلی فلزی معرفی شدند و سپس به عنوان لیگاند در تهیی کمپلکس‌های خاص کاربرد پیدا کردند [۲-۶]. دردو دهه اخیر در رسوب سازی با بخار شیمیابی، تولید نیم رسانا و صنایع هوا و فضا و سایر بخش‌ها توجه ویژه‌ای به کاربن‌ها و مشتقات آن‌ها شده است [۷-۸]. کربن چهار اوربیتال اتمی دارد و قادر است تا هشت الکترون ظرفیت را دارا باشد. چون کاربن‌ها فقط دو اوربیتال مولکولی پیوندی استفاده می‌نمایند، دو الکترون غیرپیوندی، دو اوربیتال اتمی باقیمانده را برای اشغال در اختیار خواهند داشت. بنابراین دو احتمال برای دو الکترون غیرپیوندی وجود دارد. دو الکترون می‌توانند اوربیتال واحدی را اشغال نمایند که در این صورت باید اسپین مخالف داشته باشند این وضعیت بیانگر کاربن یکتاپی است. از طرف دیگر دو الکترون می‌توانند دو اوربیتال مختلف را اشغال کنند که در این حال آزادند اسپین‌های مشابه هم داشته باشند. این وضعیت بیانگر کاربن سه‌تاپی است. براساس قاعده‌ی هوند کاربن سه‌تاپی باید انرژی کمتری داشته باشد زیرا در آن دافعه الکترون-الکترون حداقل است. در طول سال‌ها مطالعه تئوری و تجربی کاربن‌ها و هندسه اطراف اتم کاربن و همچنین وجود پیکربندی یکتاپی یا سه‌تاپی آن‌ها بیشتر از دیگر موارد مورد توجه بوده است. کاربن‌ها ابتدا به عنوان حدواسط در سیستم‌های کاتالیزوری آلی در نظر گرفته شدند و سپس به یک مبحث مستقل در شیمی کثوردیناسیون تبدیل شدند [۹].

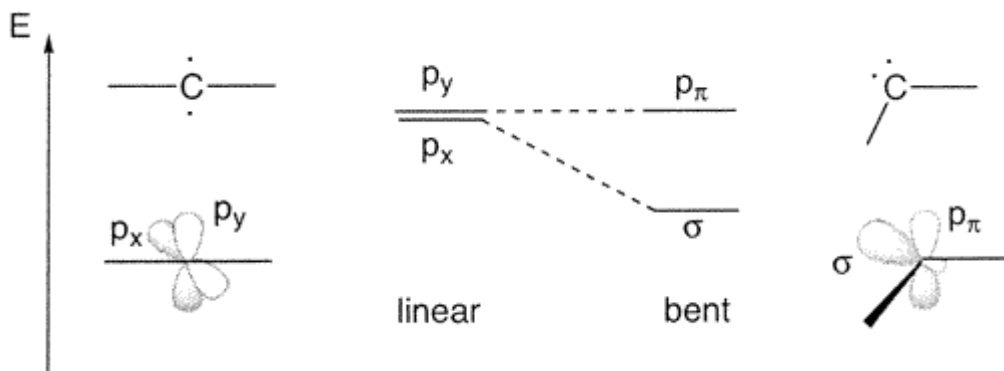
## ۱-۲- معرفی ساختار و ویژگی کاربن‌ها

فرمول کلی کاربن:  $\text{C}^{\text{RR'}}$  است که می‌تواند دو پیوند دیگر ایجاد کند. اغلب کاربن‌ها پایدار نیستند و تعداد محدودی از کاربن‌های پایدار شناخته شده‌اند. کاربن‌ها ممکن است ساختار خطی یا خمیده داشته باشند.

همانطور که در شکل زیر دیده می‌شود، شکل خطی مولکول نشان می‌دهد که هیبریداسیون کاربن sp می‌باشد. در این حالت دو اوربیتال  $p_x$  و  $p_y$  هم انرژی هستند. شکل خمیده مولکول نشان می‌دهد که هیبریداسیون کاربن<sup>۲</sup> sp<sup>2</sup> می‌باشد. در این حالت یک اوربیتال مثلاً  $p_z$  بدون تغییر می‌ماند

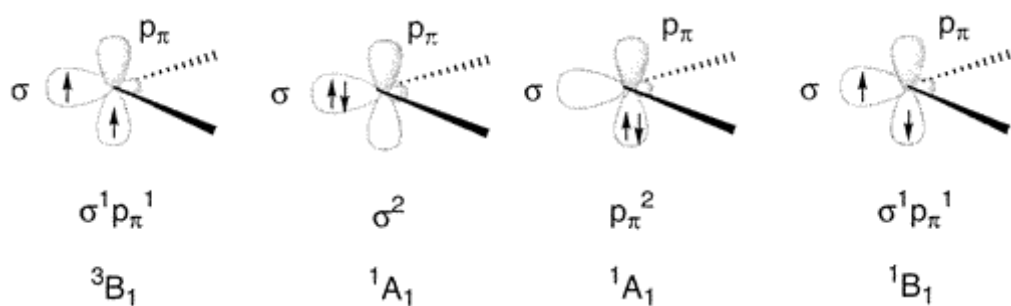
1. carbene

که  $p_{\pi}$  نامیده می‌شود. درحالی که اوربیتال دیگر یعنی  $p_x$  با خصلت  $\sigma$  ترکیب و پایدارتر شده که  $\sigma$  نامیده می‌شود. شکل خطی کاربن‌ها کمتر دیده می‌شود، درحالی که اکثر کاربن‌ها خمیده هستند که  $p_{\pi}$  و  $\sigma$  نامیده می‌شوند (شکل ۱-۱).



شکل ۱-۱- شکل خطی و غیرخطی مرکز کاربنا

واکنش‌پذیری کاربن‌ها از طریق ساختارهای الکترونیکی آن‌ها فهمیده می‌شود. همچنانکه در شکل ۱-۲) دیده می‌شود، حالت یکتایی کنفیگوراسیونهای  $\pi^2$  و  $\sigma^2$  و  $\sigma^1\pi^1$  و حالت سه‌تایی فقط کنفیگوراسیون  $\sigma\pi$  را دارا می‌باشد. حالت سه‌تایی، معمولاً آرایش  $\sigma^1\pi^1$  دارد و آرایش  $\sigma^2$  معمولاً کم‌انرژی‌ترین آرایش برای حالت یکتایی است (شکل ۱-۲).



شکل ۱-۲- کنفیگوراسیونهای  $\pi^2$ ,  $\sigma\pi$ ,  $\sigma^2$  و  $\sigma^1\pi^1$